

в Математическом институте им. В. А. Стеклова АН СССР было рассчитано в переменных Тйле около тысячи различных траекторий возможного полета космического аппарата под действием Земли и Луны [6.1].

#### § 4. ТОЧКИ ЛИБРАЦИИ

1. В ближайших двух параграфах мы сделаем некоторые выводы из уравнения (7.3.8) для ограниченной плоской круговой задачи трех тел. Для простоты будем полагать, что нами выбрана каноническая система единиц, так что  $\omega = 1$ ,  $a = 1$ ,  $m_1 + m_2 = 1$ ,  $f = 1$ ,  $m_1 = \mu$ ,  $m_2 = 1 - \mu$ . Предположим для определенности, что

$$m_1 < m_2.$$

Тогда

$$\mu < \frac{1}{2}.$$

Уравнение (7.3.8) движения спутника относительно вращающейся плоскости  $Sxy$  имеет в канонических единицах вид

$$\ddot{z} = -2iz + z + \frac{\mu}{\rho_1^3}(z_1 - z) + \frac{1 - \mu}{\rho_2^3}(z_2 - z). \quad (1)$$

Пусть спутник в какой-то момент времени  $t = t_0$  находится в точке  $M$  вращающейся плоскости  $Sxy$  и имеет нулевую относительную скорость (то есть нулевую скорость относительно вращающейся системы координат). Останется ли он в этой точке вращающейся плоскости?

Рассмотрим сначала два конкретных случая.

а) Точка  $M$  — это барицентр  $S$  двух притягивающих центров  $(A_1, \mu)$  и  $(A_2, 1 - \mu)$ . В этом случае при  $t = t_0$   $z = 0$  и  $\dot{z} = 0$ . Поэтому ускорение  $\ddot{z}$  при  $t = t_0$  согласно формуле (1) равно

$$\ddot{z} = \frac{\mu}{\rho_1^3} z_1 + \frac{1 - \mu}{\rho_2^3} z_2.$$

Но в данном случае

$$\rho_1 = r_1, \rho_2 = r_2, z_1 = r_1 = 1 - \mu > \frac{1}{2},$$

$$z_2 = -r_2 = -\mu, \mu < \frac{1}{2}.$$

Поэтому при  $t = t_0$

$$\ddot{z} = \frac{\mu(1-\mu)}{(1-\mu)^3} - \frac{(1-\mu)\mu}{\mu^3} = \frac{1}{\mu^2(1-\mu)^2} [\mu^3 - (1-\mu)^3] < 0.$$

Итак, имея нулевую скорость в точке  $C$ , спутник будет иметь отличное от нуля, а именно отрицательное, ускорение. Значит, он будет падать на большую звезду  $A_2$ .

б)  $M$  — точка равных притяжений двух притягивающих центров  $(A_1, \mu)$  и  $(A_2, 1-\mu)$ , лежащая на отрезке  $A_1A_2$ . В данном случае  $\mu/\rho_1^2 = (1-\mu)/\rho_2^2$ , откуда

$$\mu \frac{z_1 - z}{\rho_1^3} = (1-\mu) \frac{z - z_2}{\rho_2^3},$$

ибо  $z_1 - z = \rho_1$ ,  $z - z_2 = \rho_2$ .

Поэтому [см. (1)] в момент  $t = t_0$   $\ddot{z} = z$ . Но точка  $M$ , как точка равных притяжений, ближе к меньшей звезде  $A_1$ , а барицентр  $C$  ближе к большей звезде  $A_2$ , так что  $M$  лежит на луче  $CA_1$ . Следовательно,  $z > 0$ , и поэтому  $\ddot{z} > 0$  (при  $t = t_0$ ): спутник будет двигаться по направлению к меньшей звезде  $A_1$ .

2. Пусть теперь  $M$  — произвольная точка вращающейся плоскости; пусть в момент времени  $t_0$  спутник  $P$  находится в точке  $M$  и имеет нулевую относительную скорость.

Из-за тяготения к притягивающим центрам  $A_1$  и  $A_2$  спутник  $P$ , вообще говоря, не удержится в точке  $M$  и начнет как-то перемещаться по вращающейся плоскости. Например, он может в течение какого-то промежутка времени приближаться к точке  $A_1$  и удаляться от точки  $A_2$ .

Возникает вопрос: нет ли во вращающейся плоскости таких особых, «привилегированных» точек, в которых спутник мог бы находиться в покое (относительно вращающейся плоскости) неограниченно долго?

Оказывается, такие точки существуют.

Такая точка  $M$  вращающейся плоскости, в которой спутник будет находиться неограниченно долго, если его начальная относительная скорость равна нулю, называется *точкой либрации*, или *точкой относительного равновесия*.

Итак, если спутник придет в какую-то точку  $M$  с нулевой относительной скоростью, то он все равно не

удержится в этой точке, его «вытянут» из этой точки притягивающие его звезды. Исключение составит лишь тот случай, когда точка  $M$  окажется точкой либрации.

3. Сколько же существует точек либрации? Как они расположены на плоскости? И как их можно найти?

Так как в точке либрации относительная скорость спутника должна оставаться тождественно равной нулю ( $\dot{z} = 0$ ), то и относительное ускорение  $\ddot{z} = 0$ . Уравнение (1) в точке либрации  $z$  принимает вид

$$z + \frac{\mu}{\rho_1^3} (1 - \mu - z) + \frac{1 - \mu}{\rho_2^3} (-\mu - z) = 0 \quad (2)$$

или

$$\left( \frac{\mu}{\rho_1^3} + \frac{1 - \mu}{\rho_2^3} - 1 \right) z = \mu (1 - \mu) \left( \frac{1}{\rho_1^3} - \frac{1}{\rho_2^3} \right). \quad (3)$$

Имеем два случая:

1)  $\text{Im } z \neq 0$ . Уравнение (3) принимает в этом случае вид

$$\alpha \cdot z = \beta, \quad (4)$$

где  $\alpha$  и  $\beta$  — вещественные числа. Число  $z$ , для которого  $\text{Im } z \neq 0$ , удовлетворит этому условию тогда и только тогда, когда одновременно  $\alpha = 0$  и  $\beta = 0$ . Действительно, если бы  $\alpha \neq 0$ , то левая часть (4) была бы мнимым числом, а правая — вещественным, что невозможно; а если  $\alpha = 0$ , то должно быть и  $\beta = 0$ . В нашем случае получим

$$\frac{\mu}{\rho_1^3} + \frac{1 - \mu}{\rho_2^3} - 1 = 0 \quad (5)$$

и

$$\mu (1 - \mu) \left( \frac{1}{\rho_1^3} - \frac{1}{\rho_2^3} \right) = 0. \quad (6)$$

Из (6) следует, что  $\rho_2 = \rho_1$ , а из (5) получим, что  $\rho_1 = 1$ , так что  $A_1M = A_2M = A_1A_2 = 1$ .

Итак, точкой либрации является вершина  $M$  правильного треугольника, построенного на отрезке  $A_1A_2$  как на основании. Имеются, очевидно, две такие точки (рис. 7.3, точки  $L_4$  и  $L_5$ ). Их называют *треугольными* точками либрации.

2)  $\text{Im } z = 0$ . Мы теперь ищем точки либрации, лежащие на прямой  $A_1A_2$ . Задача сводится к разысканию *вещественных* корней уравнения (2). Рассмотрим отдельно три интервала прямой  $A_1A_2$ :

а)  $(z_2, z_1)$ , б)  $(z_1, +\infty)$ , в)  $(-\infty, z_2)$ .

Будем сначала искать точку либрации  $L_1$  на отрезке  $(z_2, z_1)$ .

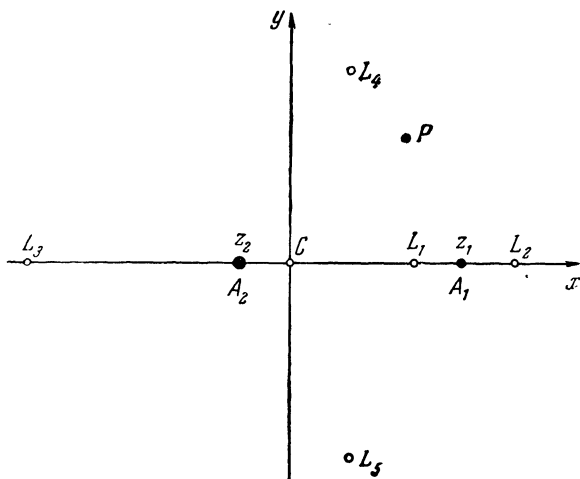


Рис. 7.3.

Выразим в уравнении (2) все неизвестные через  $\rho_1$  ( $\rho_1 = = L_1A_1$ ):

$$\rho_2 = 1 - \rho_1, \quad z = 1 - \mu - \rho_1.$$

Получим

$$1 - \mu - \rho_1 + \frac{\mu}{\rho_1^2} - \frac{1 - \mu}{(1 - \rho_1)^2} = 0, \quad (7)$$

то есть

$$\rho_1^5 - (3 - \mu)\rho_1^4 + (3 - 2\mu)\rho_1^3 - \mu(\rho_1^2 - 2\rho_1 + 1) = 0. \quad (7')$$

Таким образом, задача сводится к решению некоторого уравнения пятой степени относительно  $\rho_1$ . Можно показать, что это уравнение имеет *только один вещественный*

корень. При малых  $\mu$  этот корень удобно вычислить путем разложения его в степенной ряд по степеням  $(\mu/3)^{1/3}$ . Можно показать, что

$$\rho_1 = \left(\frac{\mu}{3}\right)^{1/3} - \frac{1}{3} \left(\frac{\mu}{3}\right)^{2/3} - \frac{1}{9} \left(\frac{\mu}{3}\right) + \dots \quad (8)$$

(где под  $(\mu/3)^{1/3}$  следует понимать *вещественное* значение корня  $\sqrt[3]{\mu/3}$ ).

Аналогичным образом можно показать, что существует только одна точка либрации  $L_2$  на интервале  $(z_1, \infty)$  и одна  $L_3$  на интервале  $(-\infty, z_2)$ . При малых  $\mu$  удобно найти положение этих точек с помощью разложений величин  $\rho_1$  или  $\rho_2$  в степенные ряды.

Для  $L_2$

$$\rho_1 = \left(\frac{\mu}{3}\right)^{1/3} + \frac{1}{3} \left(\frac{\mu}{3}\right)^{2/3} - \frac{1}{9} \left(\frac{\mu}{3}\right) + \dots \quad (9)$$

Для  $L_3$

$$\rho_2 = 1 - \frac{7}{12} \mu - \frac{23 \cdot 7^2}{12^4} \mu^3 - \dots \quad (10)$$

Отсюда видно, что при малом  $\mu$ , то есть при  $m_1 \ll m_2$ , точка либрации  $L_1$  расположена ближе к меньшей звезде, чем  $L_2$ , примерно на  $\frac{2}{3} \left(\frac{\mu}{3}\right)^3$  канонических единиц и что расстояние точки  $L_3$  от большей звезды меньше расстояния между притягивающими центрами  $A_2$  и  $A_3$  примерно на  $\frac{7}{12} \mu$ , так что при малых  $\mu$   $L_3$  и  $A_1$  примерно симметричны относительно  $A_2$ . Точки  $L_1, L_2, L_3$  называют *прямолинейными*, или *коллинеарными*, точками либрации.

На рис. 7.4 изображены все пять точек либрации. Неколлинеарные точки либрации  $L_4$  и  $L_5$  лежат на окружности с центром в звезде  $A_2$ , проходящей через другую звезду  $A_1$ . Через  $L_4$  мы обозначаем ту из этих двух точек либрации, которая находится на  $60^\circ$  впереди \*) звезды  $A_1$ , через  $L_5$  —

\*) По ходу движения точки  $A_1$  вокруг  $A_2$ .

ту, которая находится на  $60^\circ$  позади этой звезды. Три точки  $L_5$ ,  $A_1$ ,  $L_4$  представляют собой последовательные вершины правильного шестиугольника, вписанного в окружность с центром  $A_2$  и радиусом  $A_2A_1$ .

Возьмемся к уравнению (7'). Его можно записать и так:

$$\rho_1^3 [(3 - 2\mu) - \rho_1 (3 - \mu) + \rho_1^2] = \mu (1 - \rho_1)^2,$$

откуда

$$\rho_1 = \left\{ \frac{\mu (1 - \rho_1)^2}{[(3 - 2\mu) - \rho_1 (3 - \mu) + \rho_1^2]} \right\}^{1/3}. \quad (11)$$

Вещественный корень  $\rho_1$  этого уравнения иногда [7.4] находят методом неподвижной точки (см. § 3 главы III).

Если ради краткости обозначить правую часть формулы (11) через  $\varphi(\rho_1)$ , то последовательные приближения  $\rho_1^{(n)}$  к искомому корню  $\rho_1$  можно вычислять по формуле

$$\rho_1^{(n+1)} = \varphi(\rho_1^{(n)}),$$

$$n = 0, 1, 2, \dots;$$

нулевое приближение  $\rho_1^{(0)}$  можно принять, например, равным 0. Аналогично можно поступить и применительно к точкам либрации  $L_2$  и  $L_3$ .

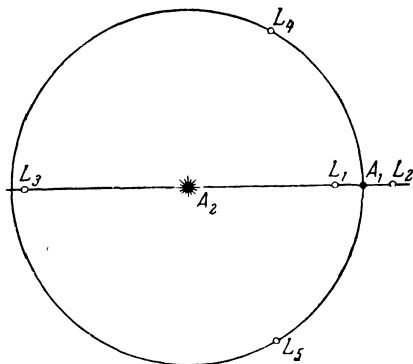


Рис. 7.4.

**П р и м е р.** Определим положение точек либрации для системы Земля — Луна, принимая, что Луна движется вокруг Земли по окружности радиуса  $a = 384\,400$  км. В канонических единицах измерения  $a = 1$ ,  $\mu = 1 : 82,35$ .

По формулам (8), (9), (10) для  $L_1$  находим  $\rho_1 \approx \left(\frac{\mu}{3}\right)^{1/3} - \frac{1}{3} \left(\frac{\mu}{3}\right)^{2/3} \approx 0,15$  канонических единиц, то есть  $\rho_1 \approx 58\,000$  км; для  $L_2$ :  $\rho_1 \approx \left(\frac{\mu}{3}\right)^{1/3} + \frac{1}{3} \left(\frac{\mu}{3}\right)^{2/3} \approx 0,17$  канонических единиц, то есть  $\rho_1 \approx 65\,000$  км; для  $L_3$

получим  $\rho_2 \approx 1 - \frac{7}{42}\mu \approx 0,99$  канонических единиц, то есть  $\rho_2 \approx 380\,600$  км.

4. Решением уравнения (1) является функция вида

$$z = z(t) = x(t) + iy(t), \quad -\infty < t < \infty,$$

которая, будучи подставленной в (1), обращает это уравнение в тождество. Геометрический смысл решения — это возможная траектория спутника. Найденные пять точек либрации — это пять частных решений уравнения (1) (точку, в которой все время находится спутник, также следует рассматривать как траекторию спутника).

Подробный анализ показывает, что треугольные точки либрации  $L_4$  и  $L_5$  при достаточно малых  $\mu$  ( $\mu < 0,038\dots$ ) являются *устойчивыми* решениями уравнения (1). Это значит, что если спутник в начальный момент  $t = t_0$  расположен не в самой точке  $L_4$  (или  $L_5$ ), а на некотором достаточно малом расстоянии от нее и имеет достаточно малую относительную скорость, то с течением времени спутник останется внутри малой окрестности точки  $L_4$  (или  $L_5$ ).

Наоборот, точки  $L_1, L_2, L_3$  являются неустойчивыми решениями. Это значит, что при любом сколь угодно малом смещении спутника от такой точки либрации спутник может удалиться на значительное расстояние от этой точки.

Устойчивость точек либрации  $L_4$  и  $L_5$  находит интересное воплощение в солнечной системе. Пусть  $L_4$  и  $L_5$  — точки либрации для системы двух тел Солнце — Юпитер. В силу ранее сказанного всякое малое небесное тело, оказавшееся в какой-то момент времени достаточно близко от одной из этих точек и имеющее достаточно малую относительную скорость, должно остаться вблизи этой точки либрации неограниченно долго.

Именно так, по-видимому, обстоит дело с астероидами так называемой Троянской группы, которые концентрируются вблизи треугольных точек либрации системы Солнце — Юпитер.

Естественно полагать, что и вблизи треугольных точек либрации системы Земля — Луна также скапливаются какие-то космические тела. Любопытно, что это предположение подтвердилось: в марте—апреле 1961 года астроном Краковской обсерватории К. Кордилевский после десятилетних

поисков обнаружил два космических «облака», по-видимому, состоящих из метеорной пыли, в районе точки либрации  $L_4$ , а через некоторое время подобные «облака» были им найдены в районе точки либрации  $L_5$  [7.5]. Возможно, что эти точки либрации будут в дальнейшем использованы для помещения в них «космического буя» — космической обсерватории. Достоинством такой обсерватории будет неизменность расстояний до Земли и Луны и вследствие этого — простота пересчета результатов наблюдений, полученных в такой обсерватории к виду, удобному для наблюдателя с Земли. Правда, возмущающее действие Солнца может оказать значительное влияние на положение такого «буя».

### § 5. ЛИНИИ ХИЛЛА

Интеграл Якоби позволяет выделить такую часть плоскости, куда непритягивающий спутник системы двух звезд в течение всего своего движения заведомо никогда попасть не сможет. На это впервые обратил внимание американский астроном Дж. В. Хилл в своих исследованиях движения Луны (1877 год).

В канонических единицах измерения интеграл Якоби (7.2.22) записывается в виде

$$v^2 = 2U - c, \quad (1)$$

где

$$U = \frac{1}{2} (x^2 + y^2) + \frac{\mu}{\rho_1} + \frac{1 - \mu}{\rho_2}. \quad (2)$$

Допустим, что в момент времени  $t_0$  спутник находился на расстояниях  $\rho_{10}$  и  $\rho_{20}$  от звезд  $A_1$  и  $A_2$  и имел относительную скорость  $v_0$ . Пусть  $\rho_0$  — расстояние спутника от барицентра  $S$ . Постоянная  $c$  интеграла Якоби выражается через начальные данные  $\rho_{10}$ ,  $\rho_{20}$ ,  $\rho_0$  при помощи формул

$$c = 2U_0 - v_0^2, \quad (3)$$

где

$$2U_0 = \rho_0^2 + 2 \left( \frac{\mu}{\rho_{10}} + \frac{1 - \mu}{\rho_{20}} \right). \quad (4)$$